東海道新幹線箱桁端部下フランジに発生した首溶接き裂の原因究明及び対策検討

東海旅客鉄道株式会社 正会員 〇髙橋 正会員 辻 英之

東海旅客鉄道株式会社 東海旅客鉄道株式会社

正会員 植村 潤

1. はじめに

東海道新幹線の鋼橋では、疲労に特化した検査体 制として、8年周期で社員による近接目視の鉄けた特 別検査を実施し,変状の発見及び補修・補強を行い, 列車の安全安定輸送を確保している. 今回, 対象橋梁 である支間長40m単連鋼箱桁において,桁端部下フラ ンジ首溶接部き裂を発見した(図-1).き裂は腹板に 進展しておらず溶接ビード方向のため, 構造上すぐ に列車の走行安全性を脅かすものではないが,進展 を抑えるための応急対策として,当て板補強並びに 可動沓の可動を拘束し,き裂先端に応力が集中して いると考えられた変位制限装置(写真-1)の孔拡大及 びナット緩解を実施した. 本稿では, き裂発生原因究 明及び恒久対策工法を検討し実施したので報告する.

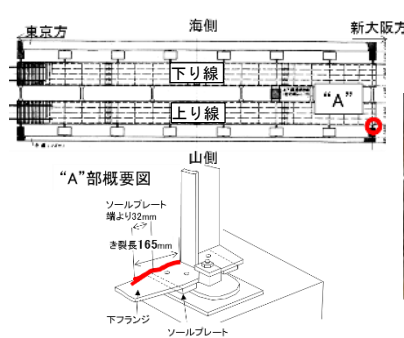




図-1 変状位置図及び概要図

写真-1 変位制限装置

2. 実橋測定・調査

1) 応力測定

き裂先端部の応力状態を確認するため,下フラン ジ表裏(図-2)での応力測定の結果,表面の主応力で 最大170MPaの圧縮応力(図-3(a))であり,裏面の主応 力値は引張応力が支配的(図-3(b))であることから、

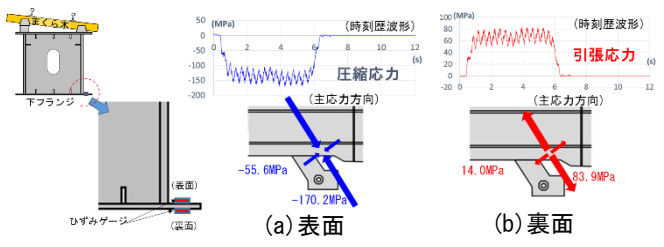


図-2 測定位置

図-3 応力波形及び主応力方向比較

キーワード:下フランジ首溶接き裂,応力測定,理論解析

連絡先:〒453-0013 名古屋市中村区亀島 2-3-2JR 東海亀島ビル 2F 名古屋新幹線構造物検査センター TEL052-453-2782

いることを確認した. また, 沓近傍の下フランジにおいて, 桁製作時にお

下フランジがV字型に変形する曲げ応力が発生して

ける溶接残留応力や, 沓の据付不良, 側方遮音板が上 り線の山側のみに設置されていることが原因として 考えられるV字型に折れ曲がる変形を確認した. さ らに、き裂箇所はさびて欠損していたことから、塵埃 の堆積など腐食環境下であることが変形を助長させ たと考えられた.

2) 沓変位量測定

沓移動量測定の結果,海側で 0.04 mmと小さかった が, 応急対策実施後で 0.5 mmと大きくなった(図-4). そのため,変位制限装置のアンカーが橋軸方向孔端 部に接触し,更にナットで強く締め付けたことで,沓 橋軸方向の可動を阻害し,き裂箇所に大きな局部応 力を発生させていたと考えられ, 沓の可動不良が, き 裂発生要因の一つであると考えられた.

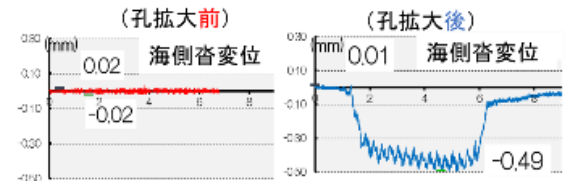


図-4 孔拡大前後の海側沓変位

3. 理論解析に基づく構造特性の把握

実橋測定・調査により得られた下フランジの局部 応力状態の発生メカニズムを理論面から考察するた め,桁本体の構造解析を行った.解析には ABAQUS ver. 6.14 を用いて, 桁本体と桁移動制限装置, 防音工 はシェル要素でモデル化した(図-5). 沓自体はモデ ル化せず,下フランジに対しての境界条件とした. また,新幹線荷重(H荷重)軸配置で局部応力が最も 厳しくなる荷重位置で実測値に合わせこむ再現解析 の結果, 軸重を 120kN/軸として静的解析を実施した. 疲労き裂部分には重複節点を設けることで分離可能 としてき裂開口を再現できるようにモデル化し,実

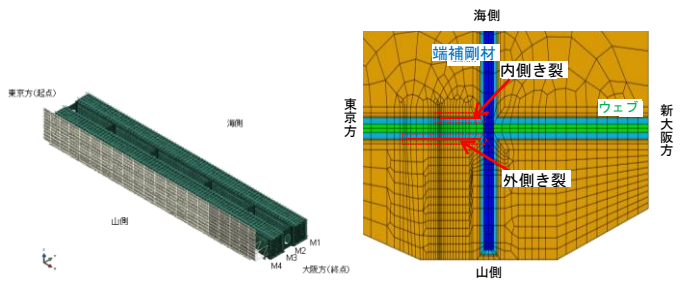


図-5 解析モデル全景

図-6 き裂部分解析モデル

際のき裂長さと同じ長さでモデル化した(図-6).海側変位制限装置及び沓の固着,山側沓のソール PL が端部のみ接地,支承支持位置ズレを条件として考慮した結果,実測値にもっとも近い応答が得られた.また,支承近傍で下フランジがめくり上がる面外変形(図-7)を引き起こすことで,高い局部応力が首溶接に発生していることを確認した.

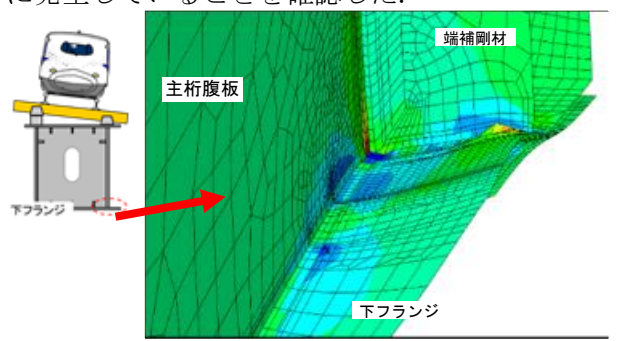


図-7 列車載荷時下フランジ変形及び局部応力

その後,応急対策である当て板補強(写真-2)についてモデル化(図-8)した結果,き裂先端の応力は低減するが,き裂進展抑制効果についてき裂先端応力の激しさを表す応力拡大係数で評価した場合,面内せん断方向に引き裂く動きのモードIIの値は減少するものの,き裂を引き裂く動きの開口型モードIと同じ高い値であることから,き裂は進展する可能性があると考えられた(図-9).そのため,補強リブを追加し,下フランジのめくり上がりを抑制する構造が効果的であると考えられた.また,恒久対策として,沓交換で可動不良など機能改善した場合,き裂先端箇所の局部応力が最大で約1/10に低減したことから,十分な効果が期待できると考えられた(図-10).



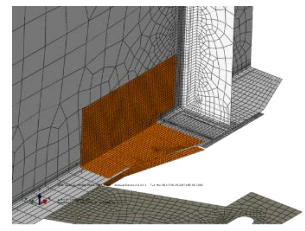
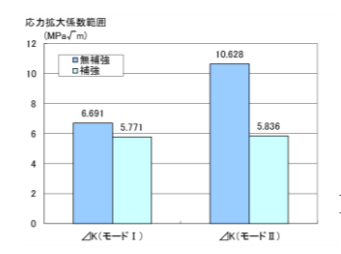


写真-2 応急当て板補強 図-8 応急当て板補強解析モデル



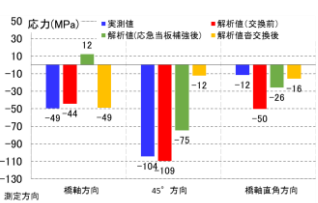


図-9 き裂先端応力拡大係数

図-10 き裂先端応力の比較

4. 対策工法の検討・実施

変状対策として、き裂箇所に対してはガウジング 再溶接(完全溶け込み)を実施し、下フランジがめく り上がる変形に対しては、補強リブ付当て板の取付、 沓の可動不良に対しては、沓を滑らかに可動させる ため、下フランジの変形を解消し、新規沓へ交換する ことで十分な効果が期待できると考えられた.

き裂箇所のガウジング再溶接を実施するに際して 狭隘箇所であるので品質管理が十分に確保できない ことが懸念されたため,変状発生部の既設部材を切 断・撤去し新規部材へ交換する案を採用し施工し た.(写真-3).施工後における,き裂先端箇所と同位 置の応力測定の結果 12MPa であり,下フランジの変 形が抑えられ応力値が低減した(図-11).



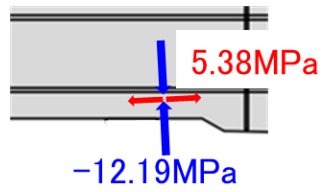


写真-3 恒久対策写真

図-11 対策後主応力値

5. まとめ・今後の取組み

今回, 桁端部下フランジ首溶接に発生したき裂について, 測定及び理論解析を行った結果, 下フランジがめくり上がる変形により, 首溶接部への応力集中がき裂発生原因として考えられ, また沓の可動不良及び腐食環境下であったことが変状の進展を助長させたと考えられる.

対策として、可動不良など沓機能を健全な状態へ 改善させることが最も効果的であり、さらに下フラ ンジがめくり上がる変形を抑える補強が有効である ことを確認した.

今後も, 沓近傍のメンテナンスの重要性を認識して検査を確実に実施し, 列車の安全・安定輸送の確保及び鉄道構造物の延命化に努めていく.